

Rotationen und Schwingungen 2-Atomare Moleküle

Born-Oppenheimer Näherung: $\Psi(r, R) = \chi(R) \cdot \psi(r, R)$ (95)

\uparrow \uparrow
 Kern Elektronen

mit Kerngleichung: $\left\{ T_N + \varepsilon_a(R) \right\} \chi(R) = E \chi(R)$ (100)

ausgeschrieben: 2-Atomig $\left\{ -\frac{\hbar^2}{2M_A} \Delta_A - \frac{\hbar^2}{2M_B} \Delta_B + E_{\text{pot}}(R) \right\} \chi = E \chi$
 nur $|R\rangle$ abhängig

wieder nur H-Atome: Schwerpunktssystem, reduzierte Masse

$$M = \frac{m_A m_B}{m_A + m_B}$$
 (101)

$$\left\{ -\frac{\hbar^2}{2M} \nabla^2 + E_{\text{pot}}(R) \right\} \chi(R) = E \chi$$
 (102)

$$\chi = \chi(R, \vartheta, \varphi) = S(R) Y(\vartheta, \varphi) \rightarrow \text{quantenzahl } J$$
 (103)

Radial gl.: $\frac{1}{R^2} \frac{d}{dR} \left(R^2 \frac{dS}{dR} \right) + \frac{2M}{\hbar^2} \left[E - E_{\text{pot}}(R) - \frac{J(J+1)\hbar^2}{2MR^2} \right] S = 0$ (104)

Winkelgl.: $\frac{1}{\sin \vartheta} \frac{\partial}{\partial \vartheta} \left(\sin \vartheta \frac{\partial Y}{\partial \vartheta} \right) + \frac{1}{\sin^2 \vartheta} \frac{\partial^2 Y}{\partial \varphi^2} + J(J+1)Y = 0$ (105)

Starrer Rotator

starr $\rightarrow R = \text{fix}$, $\frac{d}{dR} = 0 \rightarrow [J] \text{ in (104)} = 0$, $E = E_{\text{kin}} + E_{\text{pot}} = E_{\text{Rot}} + E_{\text{pot}}$

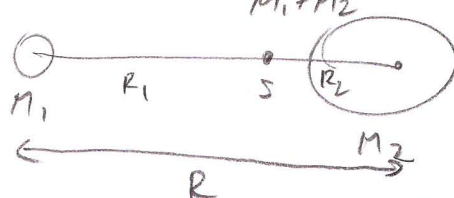
$$\rightarrow \boxed{E_{\text{Rot}} = \frac{J(J+1)\hbar^2}{2MR_e^2}} \quad J = 0, 1, 2, \dots \text{ diskrete Energien}$$
 (106)

erhält man auch „klassisch“ $E_{\text{kin}} = \frac{1}{2} I \omega^2$ ω : Winkelgeschw.

 (107)

$$I = \text{Trägheitsmoment} = m_1 R_1^2 + m_2 R_2^2 = MR^2$$
 (108)

$$M = \frac{m_1 m_2}{m_1 + m_2} \quad \text{reduzierte Masse}$$



$$\text{Drehimpuls } |J| = I\omega$$
 (109)

$$J^2 = J(J+1)\hbar^2 \quad \text{H-Atom Lösung}$$
 (110)

$$\rightarrow E_{\text{kin}} = \frac{1}{2} I \omega^2 = \frac{1}{2} \frac{J^2}{I}$$

Energieablauf der Rotationsenergie:

$$\Delta E_{\text{rot}} = E_{\text{kin}}(J+1) - E_{\text{kin}}(J) \quad (111)$$

$$= (J+1) \frac{\hbar^2}{I}$$

(im Mikrowellenbereich)

(aber: Auswirkung; keine reine Rotationsenergie
für homonukleare zweiatomige Moleküle)

Spektroskopie: Einheiten cm^{-1} : $F(J) = E(J)/hc \quad [\text{cm}^{-1}]$

$$= B_e J(J+1) \quad B_e = \frac{\hbar}{4\pi c M R_e^2} \quad (112)$$

Zentrifugal aufweitung

in nicht statuen Molekül: Zentripetalkraft $F_x = -M\omega^2 R$
Rücktreibende Kraft: $-\frac{\partial E_{\text{pot}}(R)}{\partial R}$

$$E_{\text{pot}}: \text{parabolische Näherung} \quad E_{\text{pot}} = E_0 + \frac{1}{2}k(R-R_e)^2 \quad (113)$$

Um Minimum

$$F = -\frac{\partial E}{\partial R} = -k(R-R_e) \quad (114)$$

wegen $J^2 = I^2 \omega^2 = M^2 R^4 \omega^2$ $\left. \begin{array}{l} \\ \end{array} \right\} \rightarrow M\omega^2 R = \frac{J(J+1)\hbar^2}{MR^3}$ $\quad (115)$

$$M\omega^2 R = \text{Zentripetalkraft} = \text{Rückstellkraft} = k(R-R_e) \quad (116)$$

$$R-R_e = \frac{J(J+1)\hbar^2}{M k R^3} \quad (117)$$

d.h. Kennabstand R wird durch Rotation aufgeweitet und zusätzlich zur Rotationsenergie tritt die (genauer) potentielle Energie $\frac{1}{2}k(R-R_e)^2$ auf:

$$E_{\text{tot}} = \frac{J(J+1)\hbar^2}{2MR^2} + \frac{1}{2}k(R-R_e)^2 \quad (118)$$

aus (117) $\Rightarrow R = R_e \left(1 + \underbrace{\frac{J(J+1)\hbar^2}{M k R^3 R_e}}_{x}\right) = R_e(1+x) \quad (119)$

mit $x \ll 1$. Entwickle mit Reihe im Ausdruck (118) $\frac{1}{R^2} \underset{x \rightarrow 0}{=} \frac{1}{R_e^2(1+x)^2}$

$$\frac{1}{R^2} = \frac{1}{R_e^2} \left\{ 1 - \frac{2J(J+1)\hbar^2}{M k R_e^4} + \frac{3J^2(J+1)^2\hbar^4}{M^2 k^2 R_e^8} \dots \right\} = \frac{1}{R_e^2} (1 - 2x + 3x^2) \quad (120)$$

$$\rightarrow E_{\text{kin}} = \frac{J(J+1)\hbar^2}{2M R_e^2} - \underbrace{\frac{J^2(J+1)^2\hbar^2}{2M^2 k^2 R_e^6}}_{\text{erniedrig. Rot. E}} + \frac{3J^3(J+1)^3\hbar^6}{2M^3 k^2 R_e^{10}} + \dots \quad (121)$$

\rightarrow durch Aufweitung Trägheitsmoment größer \rightarrow Rot. E kleiner

mit den entsprechenden Energie-Eigenwerten

$$E_{\text{rot}}(J)/\hbar c = F_{\text{rot}}(J) = B_e J(J+1) - D_e J^2(J+1)^2 + H_e J^3(J+1)^3 \pm \dots \quad (122)$$

$$B_e = \frac{\hbar}{4\pi c M R_e^2}, \quad D_e = \frac{\hbar^2}{4\pi c k M^2 R_e^6}, \quad H_e = \frac{3\hbar^3}{4\pi c k^2 M^3 R_e^{10}} \quad (123)$$

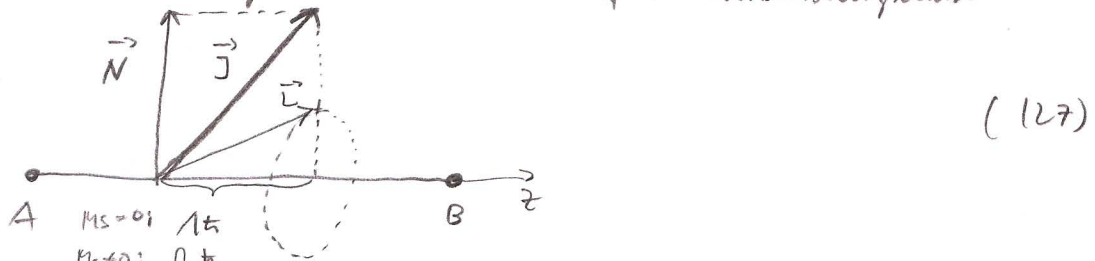
Einfluss des Elektronen Drehimpuls + Spin

Elektronen Gesamtdechimspuls: $\vec{J} = \underbrace{\vec{l}}_{\text{Bahnchimspuls}} + \underbrace{\vec{m}_s}_{\text{Spin}}$ (124)

Bahnchimspuls Elektronen $\vec{l} = \sum \vec{l}_i$ projiziert um Kernverbindungsachse mit konstanter Projektion $\langle l_z \rangle = 1\hbar$ (125)

und für schwache Spin-Bahn Kopplung: Gesamtspin \vec{s} projiziert gekrümmt um die z-Achse (Kernverbindungsachse) mit konstanter Projektion $\langle s_z \rangle = M_s \hbar$ (126)

Molekül Kern-Rotations Drehimpuls \vec{N} : vertikal auf Kernverbindungsachse



Gesamtdechimspuls \vec{j} (= Vektorsumme \vec{N} + Projektion \vec{l}) nicht mehr orthogonal auf \vec{z} . Und verhält sich wie ein Kreisel mit verschiedenen Trägheitsmomenten.

$$\left. \begin{array}{l} I_1 = I_2 \quad \text{Elektronentrikkle} \\ I_2 = I_x = I_y \quad \text{Kerne} \end{array} \right\} \quad E_{\text{rot}} = \frac{j_x^2}{2I_x} + \frac{j_y^2}{2I_y} + \frac{j_z^2}{2I_z} \quad (128)$$

$$I_1 \ll I_2 \quad \text{wegen Massenunterschiede / Kern} \\ \text{aus (127)} \Rightarrow j_z^2 = \hbar^2 t^2, \quad j_x^2 + j_y^2 = N^2 t^2 = (\vec{j})^2 - j_z^2 \\ = (J(J+1) - \hbar^2) t^2 \quad (129)$$

$$E_{\text{rot}} = \frac{j_x^2 + j_y^2}{2I_{\text{elek}}} + \frac{j_z^2}{2I_{\text{de}}} \Rightarrow \boxed{E_{\text{rot}}/\hbar c = F(J, \Omega) = B_e \{(J(J+1)) - \hbar^2\} + A \Omega^2} \quad (130)$$

mit $A = \frac{\hbar}{4\pi c I_1} \gg B_e = \frac{\hbar}{4\pi c I_2}$. $A \Omega^2$ Term: unabhängig von der Kernrotation,

wird üblicherweise zur elektronischen kinetischen Energie genommen.

(GZ der meisten zweiatomigen Moleküle: ${}^1\Sigma$ mit $\Lambda = \Omega = 0 \rightarrow (130) \rightarrow (122)$)

Schwingung zweiatomiger Moleküle

53

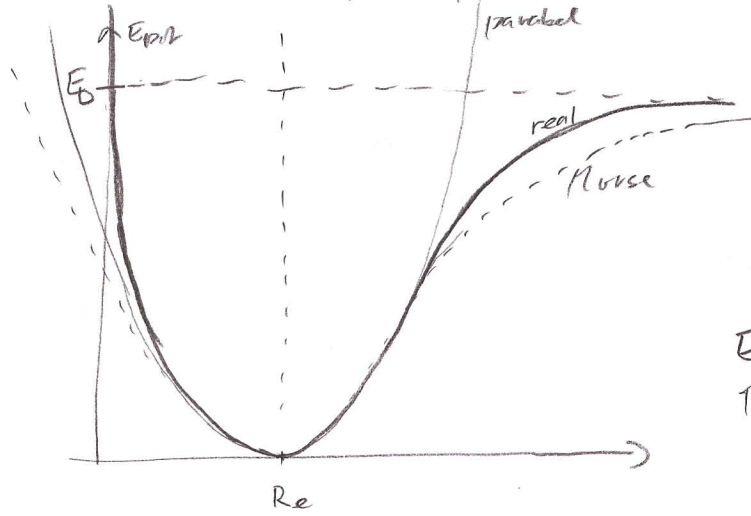
für $\gamma=0$ (= nichtpolarisches Molekül): Lösungen $S(R)$ ab radialen Bewegung: hängt von $\epsilon(R)$ ab... → parabolische Entwicklung um Minimum herum: harmonischer Oszillator:

$$E(v) = \left(v + \frac{1}{2}\right) \hbar \omega \quad (131)$$

$$\omega = \sqrt{\frac{k}{M}} \quad M = \frac{m_1 m_2}{m_1 + m_2} \quad \text{reduzierte Masse} \quad (132)$$

k : Entwicklungskonstante, Rückstellende Kraft.

gut für „kleine“ v , es gibt aber Abweichungen für höhere Energien:



E_D : Dissoziationsenergie $(133a)$

Werte:

$$E_D^{exp} = E_D - \hbar \omega \frac{1}{2}$$

Energie, um Molekül von $v=0$ zu dissoziieren,
experimentell ermittelt.

benenes, angenähertes Potential: $E_{pot}^M(R) = E_D [1 - e^{-\alpha(R-R_e)}]^2$ (133)
(Morse-Potential)

$$\lim_{R \rightarrow \infty} E_{pot}^M = E_D \quad (134)$$

aber nicht so gut für $R \rightarrow 0$... Aber! \exists erlaubte Schrödingergl. Lösung:

$$E_{vis}(v) = \hbar \omega \left(v + \frac{1}{2}\right) - \frac{\hbar^2 \omega^2}{4 E_D} \left(v + \frac{1}{2}\right)^2 \quad (135)$$

mit Energieabständen: $\Delta E(v) = E(v+1) - E(v)$
 $= \hbar \omega \left\{1 - \frac{\hbar \omega}{2 E_D} (v+1)\right\}$ klein, aber endlich
 mit $E_D \rightarrow$ nur endliche # Schwingungs niveaus (136)

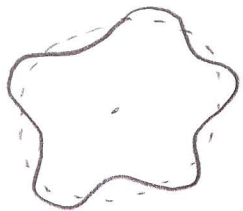
nicht mehr konstant, sondern nehmen ab mit wachsendem v , wie experimentell.

Rückstellkraft: $F = -\frac{\partial E_{pot}}{\partial R} = k(R-R_e) \rightarrow \omega = \sqrt{\frac{2 E_D}{M}}$ (137)

(hängt von E_D ab) und entspricht Frequenz eines klassischen Oszillators mit Rückstellkonstanten $k_r = 2\omega^2 E_D$ (wegen $\omega = \sqrt{\frac{k}{M}} = \sqrt{\frac{2\omega E_D}{M}} = \omega \sqrt{\frac{2 E_D}{M}}$) (138)
 d.h. aus Messung von ω und E_D kann Konstante a berechnet werden

Schwingungs-Rotations-Wedderwirkung

Wie schon auf Seiten 27/28 motiviert sind die typischen Schwingungsperioden wesentlich länger als die typischen Rotationsperioden, d.h. ein typisches Molekül kann während einer Rotationsbewegung viele Schwingungen durchlaufen (10-100). D.h. dass sich der Kernabstand R während einer Rotation ändert.



Da der Drehimpuls $\vec{J} = I\vec{\omega}$ eines freien Moleküls zeitlich konstant ist, sinkt das Trägheitsmoment aber wegen $I=MR^2$ aufgrund der Schwingung periodisch ab, schwankt die Rotationsfrequenz ω_{rot} im Takt der Schwingungsfrequenz ω_{vib} .

Darum schwankt auch die Rotationsenergie $E_{\text{rot}} = \frac{J(J+1)\hbar^2}{2MR^2}$ mit R .

Die Gesamtenergie $E = E_{\text{rot}} + E_{\text{vib}} + E_{\text{pot}}$ ist aber natürlich zeitlich konstant \Rightarrow ständiger Energieaustausch zwischen Rotation, Schwingung + pot. Energie.

Rotationsenergie eines Moleküls \equiv zeitlicher Mittelwert über viele Perioden

$$\langle E_{\text{rot}} \rangle = \frac{J(J+1)\hbar^2}{2M} \int \Psi_{\text{vib}}^* \frac{1}{R^2} \Psi_{\text{vib}} \, dR \quad (139)$$

\rightarrow Rotationskonstante B wird abhängig von Schwingungsquantenzahl:

$$B_v = \frac{t}{4\pi c N} \int_0^\infty \Psi_{\text{vib}}^*(v, R) \frac{1}{R^2} \Psi_{\text{vib}}(v, R) \, dR \quad (140)$$

$$\text{Für Morsepotential: } B_v = B_e - \alpha_e (v + \frac{1}{2}), \quad \alpha_e \ll B_e \quad (141)$$

Analog für die Zentrifugalauflösung:

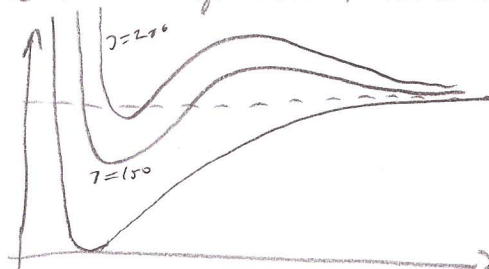
$$D_v = D_e - \beta_e (v + \frac{1}{2}) \quad \beta_e \ll D_e \quad (142)$$

Rotationsbarriere

$$E_{\text{pot}}^{\text{eff.}}(R) = E_{\text{pot}}^0(R) + \underbrace{\frac{J(J+1)\hbar^2}{2MR^2}}_{\substack{\text{Rotationslos} \\ \text{Potential}}} \quad \rightarrow \begin{array}{l} \text{führt zu Maximum bei Kernabstand} \\ R_{zB} = \frac{J(J+1)\hbar^2}{M \frac{dE^0}{dR}} \end{array} \quad (143)$$

$\xrightarrow{\text{Zentrifugalanteil}}$
 J abhängig

d.h. Minimum verschiebt sich vorwärts zu etwas größeren Kernabständen und die Dissociationsenergie wird kleiner, abh. von J .



Spektren zweiatomiger Moleküle

Optische Übergänge in Molekülen: Übergangsmatrixelement (Dipol)

$$M_{ik} = \int \psi_i^* \vec{P} \psi_k d\tau_{ee} d\tau_N \quad (144)$$

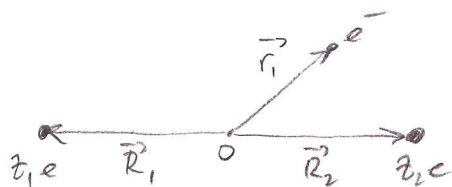
mit Dipoloperator $\vec{P} = -e \sum_i \vec{r}_i + e z_1 R_1 + e z_2 R_2$

$$= \vec{p}_{ee} + \vec{p}_N$$

Elektronen Kerne

$$(145)$$

homonukleäres Molekül (= zwei gleiche Atome): $z_1 = z_2, R_1 = -R_2, \vec{p}_N = 0 \quad (146)$



Born-Oppenheimer: $\Psi(r, R) = \psi(r, R) \cdot \chi(R) \quad (147)$

Elektronen Kerne

$$\Rightarrow M_{ik} = \int \psi_i^* \chi_i^* (\vec{p}_{ee} + \vec{p}_N) \psi_k \chi_k d\tau_{ee} d\tau_N \quad (148)$$

$$= \underbrace{\int \chi_i^* \left\{ \int \psi_i^* \vec{p}_{ee} \psi_k d\tau_{ee} \right\} \chi_k d\tau_N}_{(A)} + \underbrace{\int \chi_i^* \vec{p}_N \left\{ \int \psi_i^* \psi_k d\tau_{ee} \right\} \chi_k d\tau_N}_{(B)} \quad (149)$$

Wir unterscheiden zwei Fälle

a) ψ_i und ψ_k gehören zu denselben elektronischen Zuständen: $\psi_i = \psi_k$
d.h. reines Schwingungs-Rotationsniveau Übergang

$$(A) = 0 \quad \text{weil } r |\psi_i|^2 \text{ ungerade, d.h. } \int dr r |\psi_i|^2 = 0$$

weil $\int |\psi_i|^2 d\tau_{ee} = 1$ in (B) folgt:

$$M_{ik} = \int \chi_i^* \vec{p}_N \chi_k d\tau_N \quad \text{für reine Rot-Vib Übergang} \quad (150)$$

b) Übergang zw. verschiedenen elektronischen Zuständen ψ_i und ψ_k , d.h. $\psi_i \neq \psi_k$
wegen $\int \psi_i^* \psi_k d\tau_{ee} = 0$ folgt

$$M_{ik} = \int \chi_i^* \left\{ \underbrace{\int \psi_i^* \vec{p}_{ee} \psi_k d\tau_{ee}}_{H_{ik}^{el}(R)} \right\} \chi_k d\tau_N \quad (151)$$

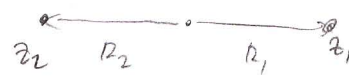
$$M_{ik} = \int \chi_i^* M_{ik}^{el}(R) \chi_k d\tau_N \quad \text{für elekt. Übergänge} \quad (152)$$

Schwingungs-Rotations Übergänge

Schwingungs-Rotationspektrum typischerweise $\nu_{\text{sum}} = \lambda$

Rotationspektren

Mikrowellen



$$M_{12} = e \int \chi_i^* (Z, R_1 + z_1 R_2) \chi_k d\tau_N \quad (153)$$

für homonukleare Moleküle: $Z_1 = Z_2, M_1 = M_2, R_1 = -R_2, P_N = 0$

homonukleare Moleküle: keine Vib.-Rot. Übergänge innerhalb derselben elektronischen Zustände (in Dipolnäherung)

(154)

z.B. Luft: $N_2 + O_2$ können die Wärmeabstrahlung des Erdes nicht absorbiieren

CO_2, H_2O, NH_3 aber schon \rightarrow Erwärmung Wärmeabstrahlung
 \rightarrow Treibhauseffekt

$$\chi_N = \underbrace{s(R)}_{\substack{\text{Radialteil} \\ \text{Schwingungen}}} \cdot \underbrace{Y_J^M(\vartheta, \varphi)}_{\substack{\text{Winkelteil} \\ \text{Rotationen}}} \quad Y_J^M : \text{Drehimpuls } J, \text{ Projektion } M$$

Mit $R = |\vec{R}_1 - \vec{R}_2|$ und $R_1/R_2 = M_2/M_1$ gilt

$$\begin{aligned} \vec{p}_N &= |\vec{p}_N| \cdot \hat{p} = e \frac{M_2 z_1 - M_1 z_2}{M_1 + M_2} R \cdot \hat{p} \\ &= e C R \hat{p}_\alpha \quad \text{Einheitsvektor } \parallel \vec{p}_N \end{aligned} \quad (155)$$

mit $d\tau_N = R^2 dR \sin \vartheta d\vartheta d\varphi$ folgt

$$M_{12} = e C \underbrace{\int s_{v_1}(R) s_{v_2}(R) R^3 dR}_{\substack{\text{Komm. Osz: } \Delta v = v_1 - v_2 = 0, \pm 1 \\ \text{Plötzl Pol.: auch } \Delta v = 2, 3, 4 \text{ oder} \\ \text{unterstört mit } \omega_2}} \underbrace{\int Y_{J_1}^{M_1} Y_{J_2}^{M_2} \hat{p} \sin \vartheta d\vartheta d\varphi}_{\substack{\Delta J = J_1 - J_2 = \pm 1 \\ (\text{denn absorb./emitt. Haken} \\ \text{hat Drehimpuls 1})}} \quad (156)$$

Komm. Osz: $\Delta v = v_1 - v_2 = 0, \pm 1$

Plötzl Pol.: auch $\Delta v = 2, 3, 4$ oder
 unterstört mit ω_2

$\Delta J = J_1 - J_2 = \pm 1$

(denn absorb./emitt. Haken
 hat Drehimpuls 1)

$\Delta J = +1 : R\text{-Linien}$

$\Delta J = -1 : P\text{-Linien}$